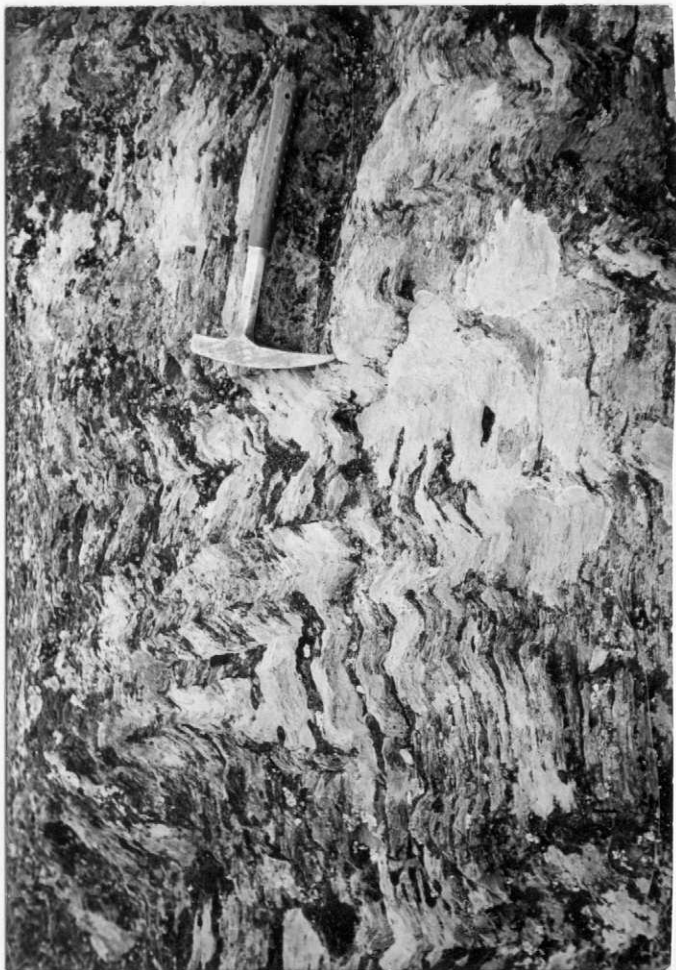
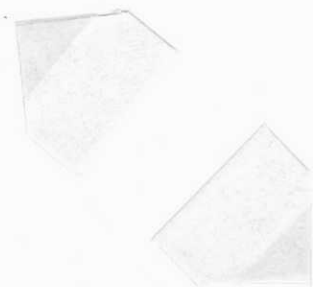


11-10-AD-FO-601.- Relieve de la Formación Cándana (en primer plano) en relación con el relieve de la serie de los Cabos - al fondo. En el valle se sitúa el cabalgamiento de Molinafe-rrera.



11-10-AD-FO-602.-



11-10-AD-FO-603

Fotos 602 y 603.- Detalle de los tramos más cuarcíticos de la Formación Cándana con pliegues chevron y kink-bands (CA₁).



11-10-AD-FO-604.- Cabalgamiento de las Pizarras de Luarca sobre la Formación Cándana. Zona privilegiada de observación con desarrollo de brechas.



11-10-AD-FO-605.- Detalle de esas brechas.



11-10-AD-FO-606.- Vista de la Serie de los Cabos (CA_2-O_1) en Molinaferrera.



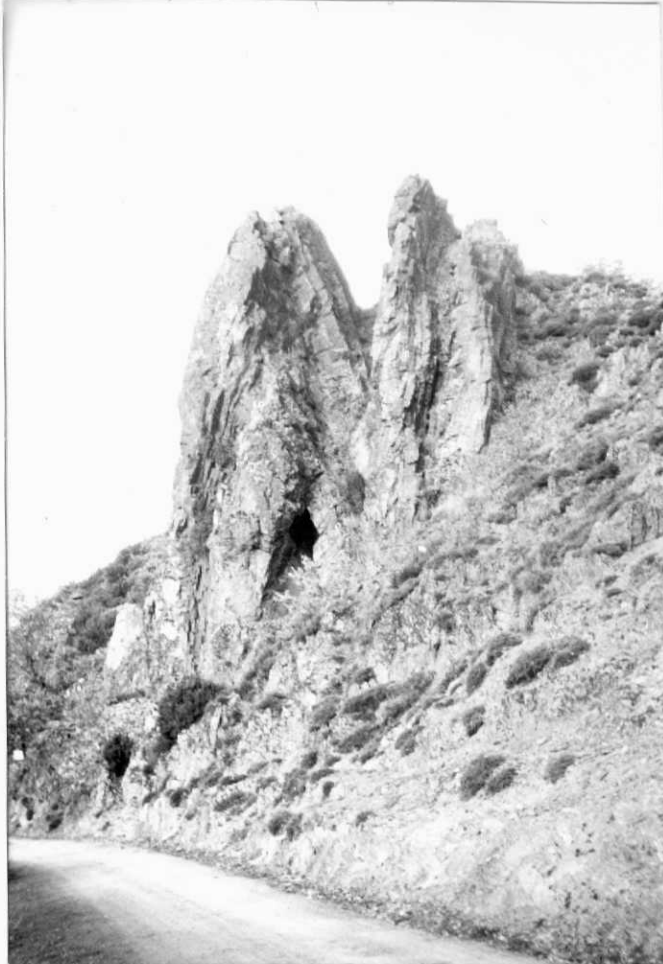
11-10-AD-FO-607.- Vista de la Serie de los Cabos en el centro y este del anticlinorio del Somoza. Obsérvese la fuerte peneplanización.



11-10-AD-FO-608.- Vista de la Serie de los Cabos en Compludo,
tramo más cuarcítico de la base.



11-10-AD-FO-609. - Ripples en este tramo.



11-10-AD-FO-610.- Pliegue de primera fase isoclinal en la Se-
rie de los Cabos.



11-10-AD-FO-611. - Litología más común en el tramo central de la Serie de los Cabos. Las pizarras muy arenosas, permiten - diferenciar la estratificación de la esquistosidad y por su relación, establecer el muro y el techo de este estrato, en - su posición normal.

11-10-AD-FO-612..- Aspecto de la cuarcita del Arenigiense en -
el Telón 0₁.





11-10-AD-FO-613. - Anticlinal de primera fase en la Serie de
Transición Op^p
1-2.



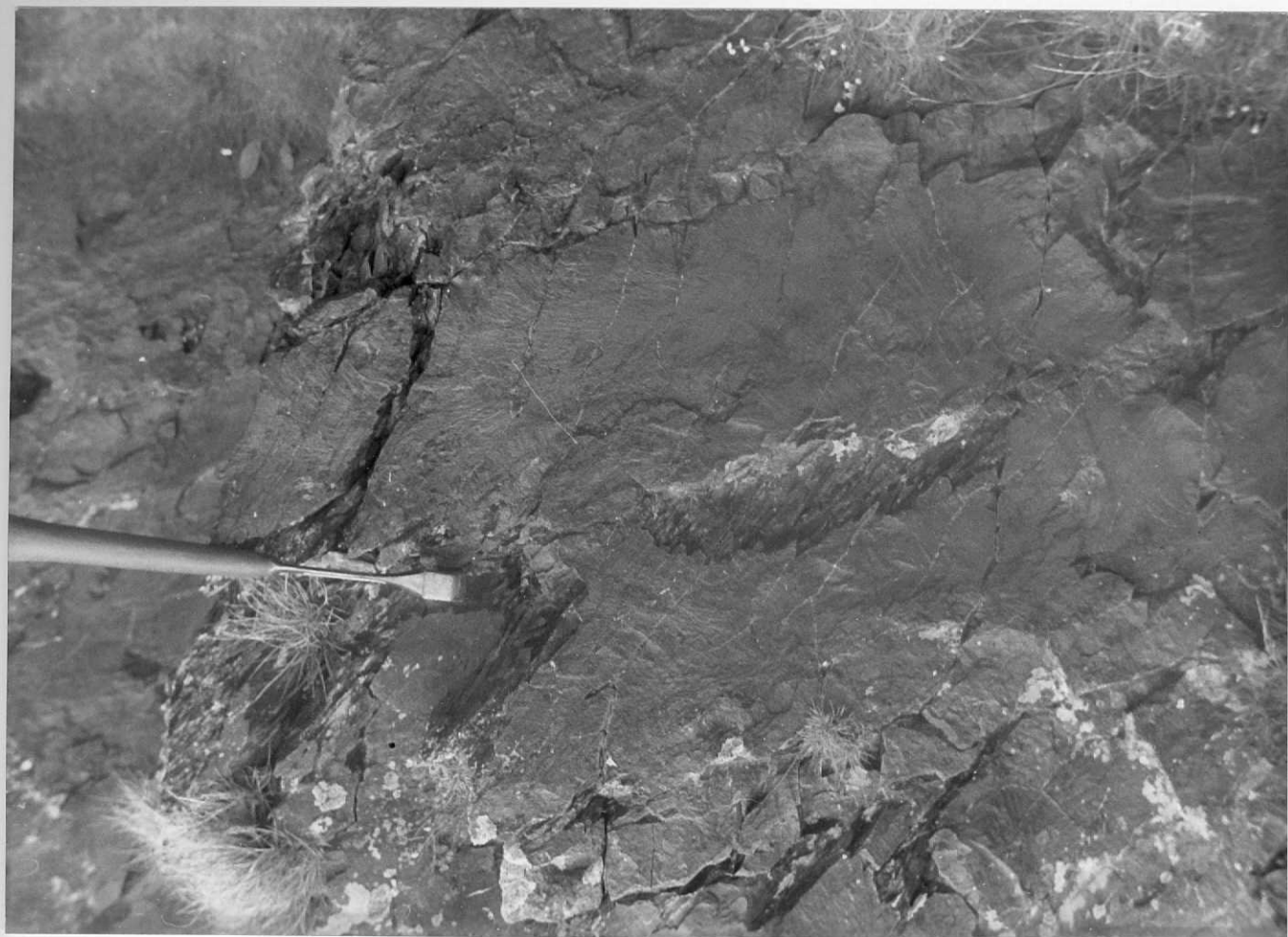
11-10-AD-FO-614. - Detalle de las estructuras de primera fase bien desarrolladas en la Serie de Transición. Se observa el desarrollo de la esquistosidad de plano axial en los estratos más pelíticos, que al llegar a los de cuarcitas más competentes se resuelven como de fractura. Estos estratos se pliegan cilíndricamente.



11-10-AD-FO-615.- Detalle de la anterior 614.



11-10-AD-FO-616.- Nuevo detalle de las dos anteriores 614 y 615.



11-10-AD-FO-617.- La esquistosidad principal en forma de S en un flanco normal de un anticlinal.

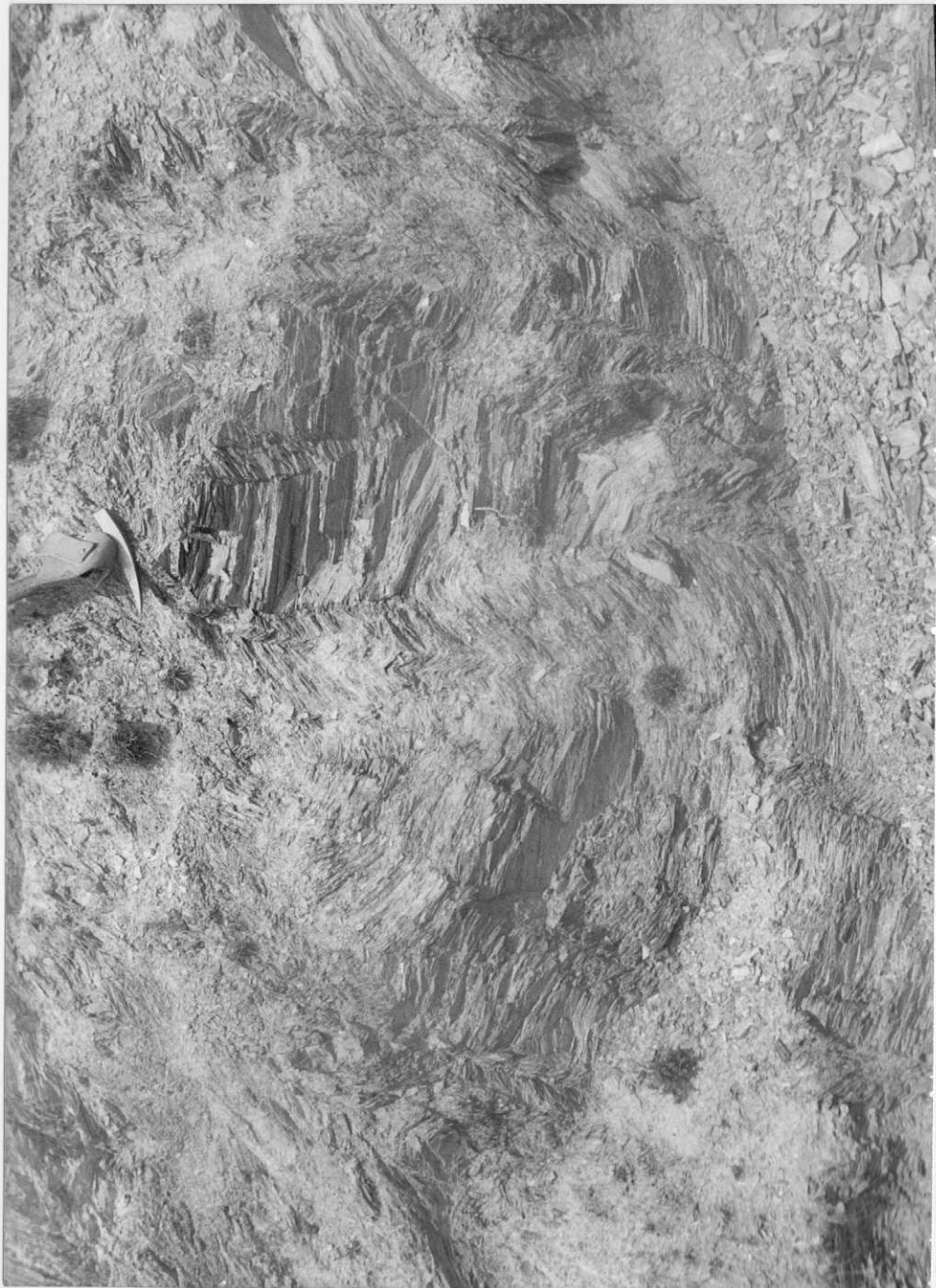


11-10-AD-FO-618.- Panorámica del contacto de la Serie de Transición con las pizarras de Luarca.

A la derecha, la serie del Ordovícico inferior.



11-10-AD-FO-619



11-10-AD-FO-620



11-10-AD-FO-621



11-10-AD-FO-622

Fotos 619, 620, 621 y 622. - Pizarras de Luarca con un desarrollo excepcional de las fases póstumas. Los ejes de los kinks y - ejes de los pliegues chevron son aproximadamente N-S (O_{2-3}).

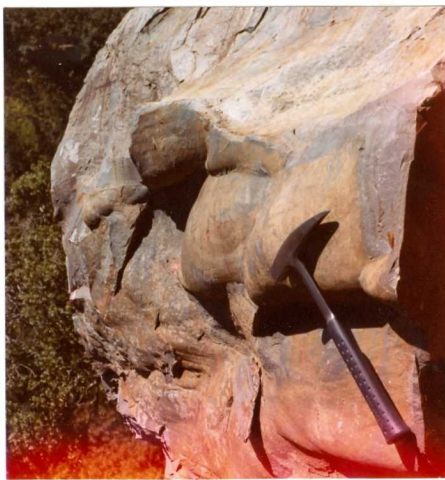


11-10-AD-FO-623.-



11-10-AD-FO-624.-

Fotos 623 y 624.- De la misma fase en las pizarras de la Serie de los Cabos.



11-10-AD-FO-625.- Estructuras de carga deformadas en las areniscas intercaladas en las Pizarras de Luarca.



11-10-AD-FO-626

11-10-AD-FO-627





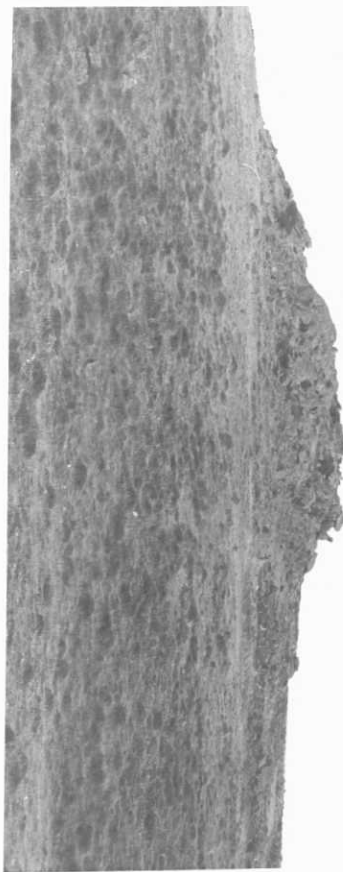
11-10-AD-FO-628.-

Fotos 626, 627 y 628.- Serie de alternancias del Ordovícico inferior. Pliegues de primera fase en las cuarcitas (O_{1-2}).



11-10-AD-FO-629.- Cuarcita en sinclinal del Ordovícico superior.

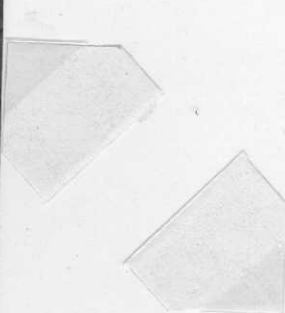
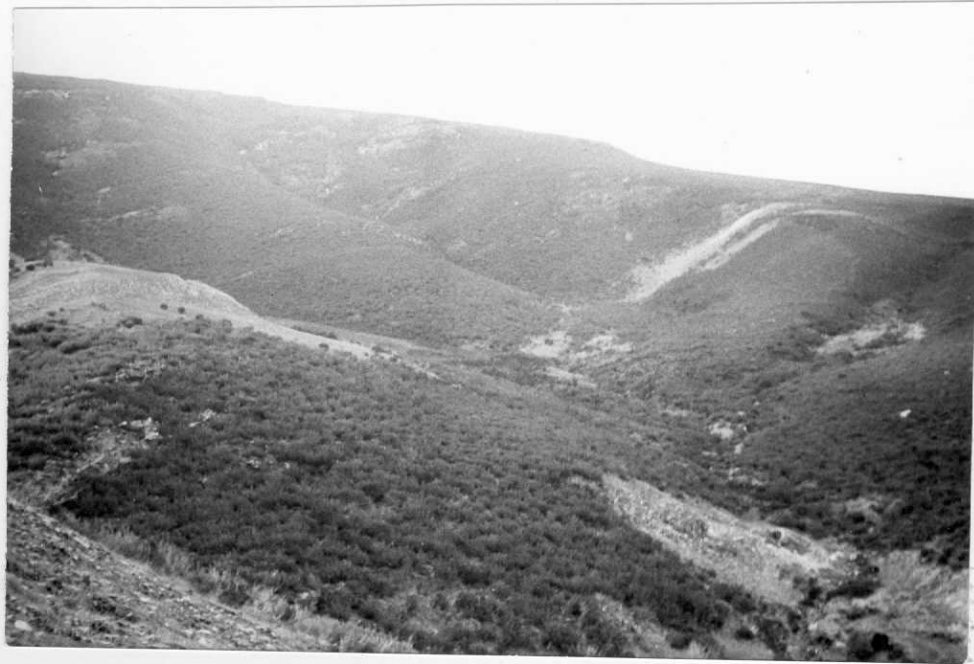
11-10-AD-F0-630.-





11-10-AD-FO-631.-

Fotos 630 y 631.- La misma cuarcita con más detalle.



11-10-AD-FO-632.- Caliza de la Aquiana. Aparece abudinada entre las pizarras y cuarcitas ordovícicas (derecha de la foto) y las pizarras silúricas (a la izquierda) (Sc).



11-10-AD-FO-633.- Foto de la estructura anticlinal del S de Molinaferrera. De izquierda a derecha, se ve en el barranco el tono gris del Silúrico, las dos calizas Aquiana como nivel guía en el centro, cuarcitas del Ordovícico inferior y, por último, a la derecha, las pizarras silúricas negras.



11-10-AD-FO-634.- Foto de esta misma estructura en donde se ve claramente la fractura más al N, seriada por la zona abarrancada. En primer término las pizarras y cuarcitas ordovícicas.



11-10-AD-FO-635.- Un detalle de la estructura, el N está a la de
recha. En las pizarras negras del centro hay graptolites silúri-
cos.

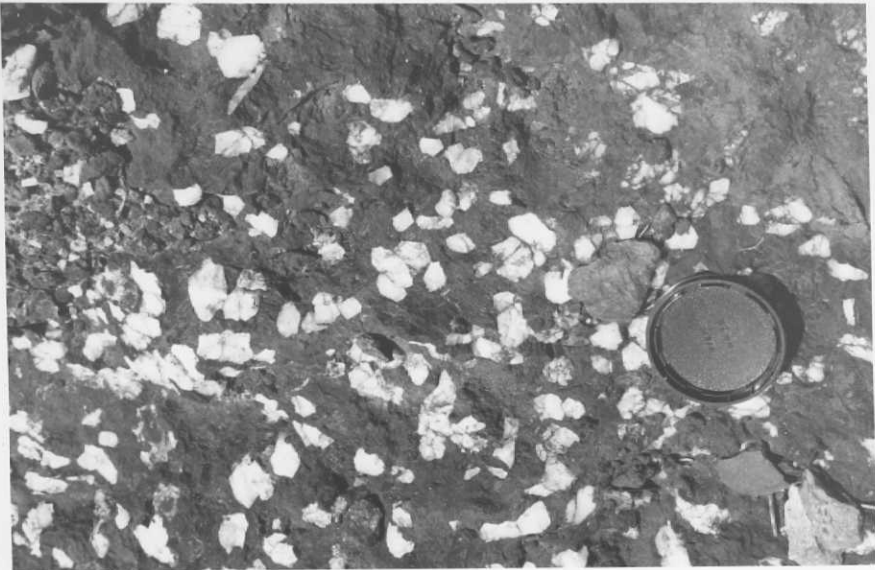


11-10-AD-FO-636.-



11-10-AD-FO-637.-

Fotos 636 y 637.- Diabasa con siderita al S de Quintanilla de Somoza. (ε)



11-10-AD-FO-638.- Detalle de este afloramiento.



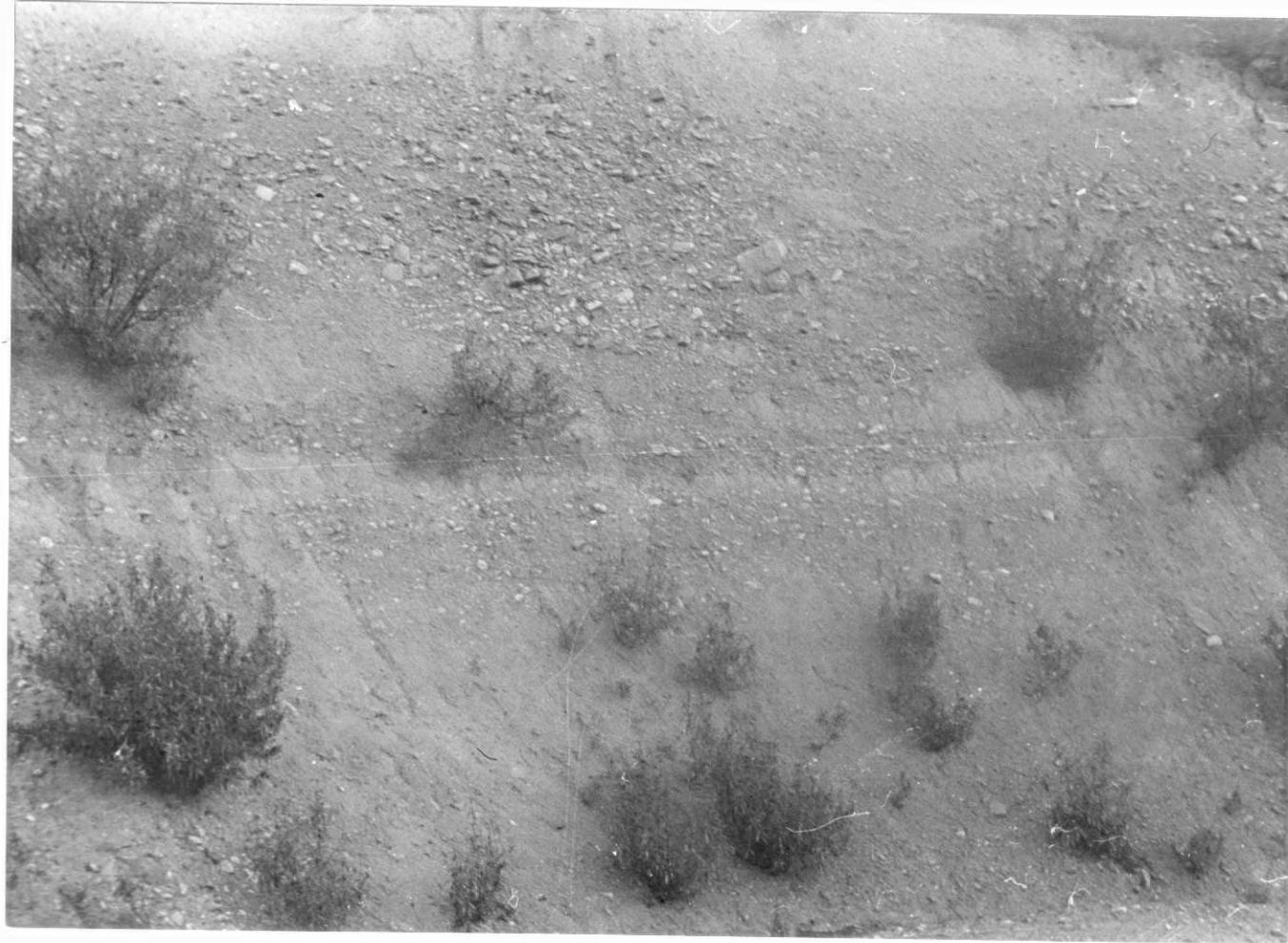
11-10-AD-FO-639.- Zona con diabasas. Obsérvese que la peneplani-
zación dificulta su observación enormemente.



11-10-AD-FO-640.- El Neógeno fosilizando antiguos relieves T_B .



11-10-AD-FO-641.- Paleocanales en el Neógeno meridional.



11-10-AD-FO-642..- Detalle de la foto anterior.

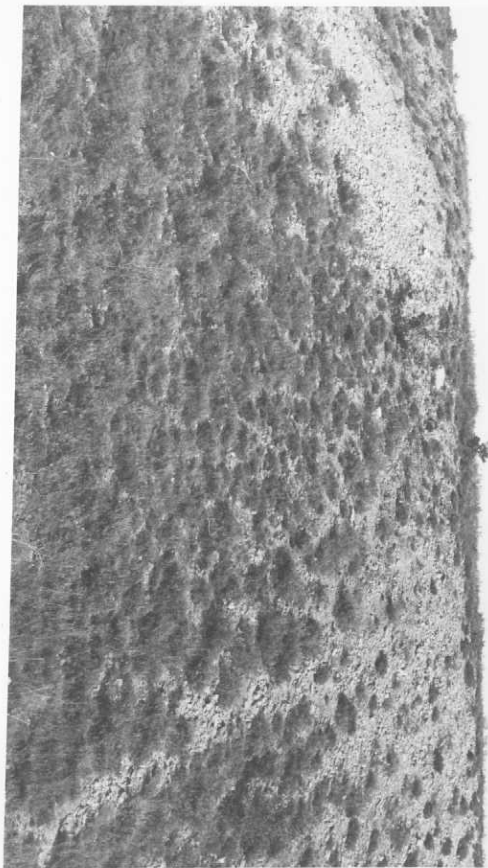


11-10-AD-FO-643.- Aspecto de los cantos de un paleocanal.



11-10-AD-FO-644.- Paleocanales imbricados.

11-10-AD-FO-645.- Neógeno de la zona N. Fanglomerado con cantos
fundamentalmente cuarcíticos.

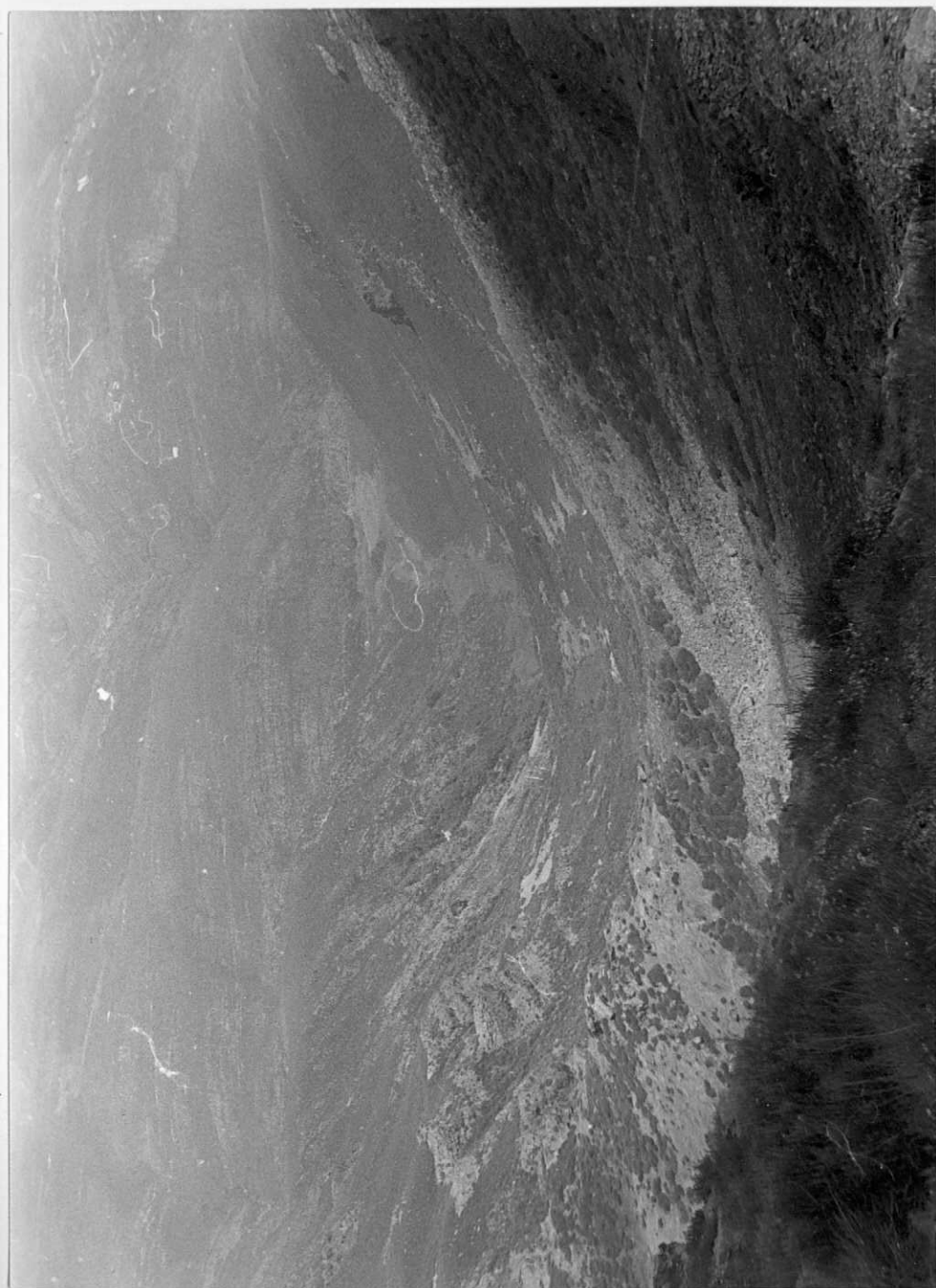




11-10-AD-F0-646.- Superficie de peneplanización a los 4 metros.



11-10-AD-FO-647.- Derrubios de ladera (QL) en las cuarcitas del Arenigiense.

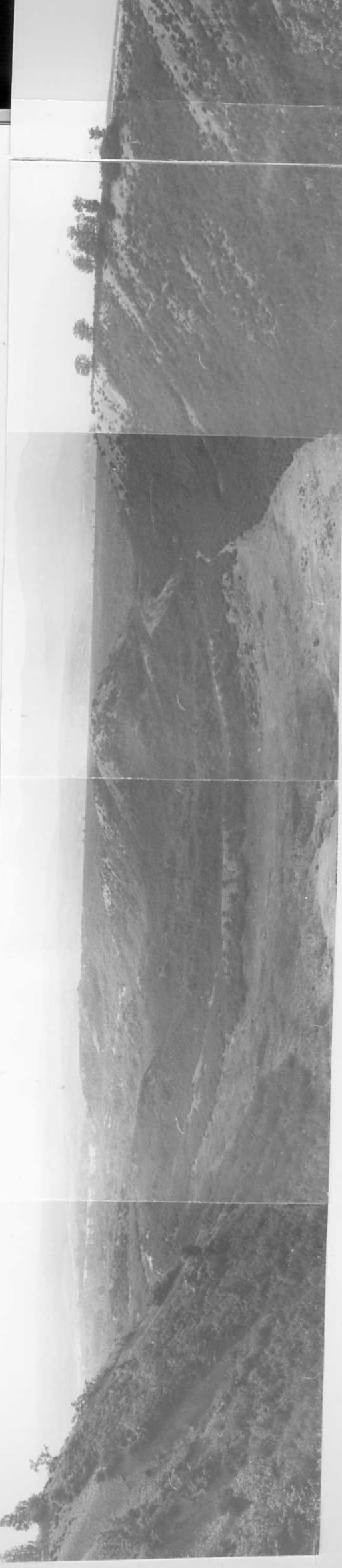


11-10-AD-FO-648.- Valle con morfología glaciar.



11-10-AD-FO-649.- Pequeña laguna resto de la erosión glaciar.

11-10-AD-FO-650. - Excavación de labores mineras antiguas.





11-10-AD-FO-651.- Pequeños conos de deyección, cartografiados como cuaternario indiferenciado, resultado de removilización de labores antiguas. (Q).